

واکاوی ساختار دمای ایران مبتنی بر برونداد پایگاه داده مرکز پیش‌بینی میان‌مدت هواشناسی اروپایی (ECMWF) نسخه ERA Interim

محمود احمدی* - دانشیار آب و هواشناسی دانشگاه شهید بهشتی، دانشکده علوم زمین، تهران، ایران
عباسعلی داداشی روباری - دانشجوی دکتری آب و هواشناسی شهری، دانشگاه شهید بهشتی، دانشکده علوم زمین، تهران، ایران
حمزه احمدی - دانشجوی دکتری آب و هواشناسی کشاورزی، دانشگاه حکیم سبزواری، دانشکده جغرافیا و علوم محیطی، سبزوار، ایران
زهرا علی‌بخشی - دانشجوی دکتری آب و هواشناسی شهری، دانشگاه شهید بهشتی، دانشکده علوم زمین، تهران، ایران

تاریخ دریافت: ۱۳۹۶/۵/۲ تاریخ پذیرش: ۱۳۹۶/۱۱/۵

چکیده

هدف از این پژوهش پایش دمای هوا با رهیافتی آماری بر اساس برونداد پایگاه داده بازو واکاوی شده (ECMWF) نسخه ERA Interim برای دوره زمانی ۱۹۷۹-۲۰۱۵ با تفکیک مکانی 125×125 درجه قوسی و همسنجی آن با پایگاه ملی اسفاری و پیمونگاه‌های همدید کشور است. از سنجه‌های R^2 و RMSE برای اعتبارسنجی نتایج و از بعد فرکتالی برای دگردیسی زمانی استفاده شد. نتایج اعتبارسنجی پایگاه ECMWF نشان‌دهنده توانایی و دقت زیاد آن در برآورد دمای هوا بوده است. همسنجی پایگاه ECMWF با پایگاه ملی اسفاری و پیمونگاه‌های همدید از نتایج مطلوبی برخوردار است؛ این نتایج در شش ماهه دوم یا نیمه گرم سال، به سبب تبیین کمتر دمایی، از نتایج بسیار مطلوب‌تری برخوردار است. بعد فرکتالی دما در دوره گرم سال (دارای دگرگونی کوتاه‌مدت) افزایش یافته و در دوره سرد سال (دارای دگرگونی بلندمدت) کاهش یافته است. توزیع فضایی دمای هوا نشان داد در ایجاد الگوی دمای هوا در بام ایران عامل عرض جغرافیایی بیشترین نقش را ایفا می‌کند. کانون گرم ترین نواحی در مناطق کویر لوت، جنوب شرق، و نوار جنوب کشور است. مناطق خنک و سرد نیز منطبق بر نواحی مرتفع و پیکربندی ناهمواری‌های بام ایران است.

کلیدواژه‌ها: ایران، بعد فرکتالی، پایگاه داده بازو واکاوی شده، دمای هوا، ECMWF ERA Interim.

مقدمه

دمای هوا یکی از مهم‌ترین سنجه‌های آب و هوایی در محیط زیست بشری به شمار می‌رود که به شکل مستقیم بر روند فیزیکی و بیولوژیکی زیست‌بوم تأثیر می‌گذارد (استال و همکاران، ۲۰۰۶؛ لی و همکاران، ۲۰۱۳). شناخت این سنجه آب و هوایی می‌تواند پایه‌ای برای درک بسیاری از فرایندهای آب و هوایی به خصوص تبخیر و تعرق (با توجه به وضعیت آب و هوایی ایران) باشد (تیپشورات و همکاران، ۲۰۱۱). دگرگونی دمایی همچنین بر کیفیت هوا در مناطق شهری کارایی مستقیم دارد؛ این امر از طریق دگرگونی در پایداری و تشدید جریان‌های هوا انجام می‌گیرد (الیسون و آپمانیس، ۲۰۰۰). بنابراین، شناخت دگرگونی فضایی دما در ارزیابی دگرگونی‌های اخیر آب و هوایی و اثر گازهای گلخانه‌ای امری ضروری است. با وجود پویایی بی‌نظیر سامانه هواشناسی، میانگین زمانی سنجه‌های هواشناسی قابل پیش‌بینی و مدل‌سازی است

(کیم و همکاران، ۲۰۱۲). دگرگونی سنجه‌های آبوهوایی بهخصوص دما در پیمانه‌های خرد و کلان اهمیت اجتماعی-اقتصادی چشم‌گیری دارد؛ زیرا با شناخت درست دگرگونی‌های زمانی- مکانی در گام نخست می‌تواند پیشرفت‌های شایان توجهی برای پیش‌بینی‌های محیطی و بسط مدل‌های آماری/ دینامیکی، اقیانوسی- هواسپه‌ری به همراه داشته باشد (کریشنا کومار و همکاران، ۲۰۰۵؛ کوگ و همکاران، ۲۰۰۸). توزیع فضایی نامناسب پیمونگاه‌های آبوهوایی بهخصوص در مناطق کوهستانی و کویری به محدودیتی جدی در مطالعات دگرگونی‌های فضایی- زمانی مبدل شده است (رونالد، ۲۰۰۳). ازین‌رو، تقاضا برای تولید و توسعه پایگاه‌های روزآمد داده با توزیع فضایی یاخته‌های منظم و با تفکیک‌پذیری بالا به عنوان نیازی جدی مطرح شده و در دهه‌های اخیر شاهد توسعه بیش از پیش این پایگاه‌ها هستیم. از این پایگاه‌ها، که با نام پایگاه‌های بازوکاوی شده^۱ شناخته می‌شوند، در سال‌های اخیر در بسیاری از مطالعات از جمله مطالعات مربوط به روند آبوهوایی (پودا و همکاران، ۲۰۰۶)، مدل‌سازی آبوهوایی (کیکارلی و همکاران، ۲۰۰۸) و ارزیابی منابع تجدیدپذیر (هنفردسون و دیگران، ۲۰۰۷) استفاده شده و دقت بسیار زیاد آن‌ها مورد تأیید است.

داده‌های بازوکاوی شده محصول نهایی پیش‌بینی‌های کوتاه‌مدت شرایط هواسپه‌ری (NWP)^۲ و داده‌های مشاهداتی پیمونگاه‌های آبوهواشناسی (پیمونگاه‌های همدید، پیمونگاه‌های هواسپه‌ر بالایی^۳، و شناوه^۴ دریابی)، داده‌های ماهواره‌های هواشناسی، داده‌های سامانه‌های بین‌المللی کشتیرانی و هوایپمایی با درنظر گرفتن رابطه فیزیکی- دینامیکی بین هواسپه‌ر- اقیانوس و همچنین کارایی توپوگرافی پیچیده سطح زمین هستند (کانلی، ۲۰۰۳؛ هودگس و همکاران، ۲۰۱۱؛ اسمیت و همکاران، ۲۰۱۴).

اولین پروژه پایگاه داده هواسپه‌ری توسط مرکز ملی پیش‌بینی زیست‌محیطی/ مرکز ملی پژوهش هواسپه‌ر ایالات متحده امریکا (NCEP/NCAR) با تولید یک پایگاه بازوکاوی شده چهل ساله شروع شد که دوره زمانی ۱۹۹۶ تا ۱۹۹۷ را دربر می‌گرفت (کانلی و همکاران، ۱۹۹۶). از آن زمان تاکنون مطالعات بسیاری آغاز به کار کرده‌اند و پایگاه‌های بسیاری تولید و تجاری‌سازی شده است؛ برخی از شناخته شده‌ترین پایگاه‌های بازوکاوی شده عبارت‌اند از: مرکز ملی پیش‌بینی زیست‌محیطی (NCEP) (ستره، ۲۰۰۸)/ مرکز ملی پژوهش‌های هواسپه‌ر (NCAR) (کیهل و همکاران، ۲۰۰۰)، نسخه ارتقا داده شده NCEP (کانامیتسو و همکاران، ۲۰۰۲)، پایگاه داده مرکز ERA-Interim (سیمونز و همکاران، ۲۰۱۰)، پایگاه داده بازوکاوی شده ژاپن JRA-55 (ایبتا و همکاران، ۲۰۱۱)، و پایگاه روزانه دوره مدرن برای پژوهش‌های کاربردی (MERRA)^۵ (ربنکر و همکاران، ۲۰۱۱).

در سطح جهان، مطالعات بسیاری کانون توجه خود را بر پایگاه‌های بازوکاوی شده قرار داده‌اند؛ فرانفلد و همکاران (۲۰۰۵) و وانگ و زنگ (۲۰۱۲) در ارزیابی شرایط آبوهوایی بام تبت به این نتیجه رسیدند که داده‌های بازوکاوی شده سطح بسیار زیادی از اطمینان را برای دگرگونی مکانی- زمانی ارائه می‌دهند و این امر برای دما با دقت بیشتری قابل ارائه است. در مطالعه‌ای دیگر (بانو و زنگ، ۲۰۱۳)، که در بام تبت با استفاده از پایگاه‌های بازوکاوی شده- NCEP، ERA-40، NCEP-NCAR، CFSR، ERA-Interim و ERA-40 انجام شده است، پژوهشگران به این نتیجه رسیدند که برای دما و باد داده‌های بازوکایی دقت بیشتری و برای رطوبت دقت کمتری دارند. همچنین، آن‌ها به این نتیجه رسیدند که

1. Reanalysis

2. Numerical Weather Prediction (NWP)

3. Radio sonde

4. BUOYS

5. Modern Era Retrospective-Analysis for Research and Applications (MERRA)

پایگاه‌های روزآمدتر همچون CFSR و ERA-Interim ضمن چشم‌پوشی از برخی خطاها نتایج قابل قبول تری ارائه می‌دهند.

مونی و همکاران (۲۰۱۱) برای ارزیابی دمای سطح زمین ایرلند به هم‌سنجدی پایگاه‌های بازوکاوی شده ERA-40، ERA-Interim و NCEP/NCAR پرداختند. آنان برای ارزیابی دقت داده‌های بازوکاوی شده از داده‌های مشاهداتی یازده پیمونگاه همدید طی دوره ۱۹۸۹-۲۰۰ استفاده کردند. نتایج پژوهش آنان نشان داد که دمای زمستان به شکل چشم‌گیری افزایش یافته است و ERA-Interim نسبت به ERA-40 و NCEP/NCAR کمی بهتر توانسته است به مدل‌سازی بپردازد و بیشترین ضریب همبستگی با داده‌های مشاهداتی را ارائه داده است. برآورد دگرگونی فرکانس پایین و روند دما با استفاده از پایگاه بازوکاوی شده ERA-Interim (سیمونز و همکاران، ۲۰۱۴) نشان داد که برونداد این پایگاه در سطح قابل قبولی است و گرم‌شدن تدریجی زمین مطابق با برونداد پایگاه بازوکاوی شده ERA-Interim کمتر از حد انتظار است. لادر و همکاران (۲۰۱۶) در ارزیابی دمای دومنته از سطح زمین و بارش منطقه آلاسکا داده‌های بازوکاوی شده ERA-Interim، CFSR^۱، NARR^۲، MERRA^۳ و MERRA^۴ را بررسی کردند. نتایج پژوهش آنان نشان داد که به منظور ارزیابی خطرهای طبیعی در آلاسکا-پایگاه MERRA^۴ مسائل مرتبط با فرسایش ساحلی پایگاه CFSR، و بارش‌های سنگین جنوب شرق آلاسکا پایگاه ERA-Interim نتایج قابل قبول تری ارائه می‌دهند.

در ایران تاکنون، در پژوهش مستقلی، دما با استفاده از پایگاه‌های بازوکاوی شده مطالعه بررسی نشده است. بهرغم پیشرفت‌های بسیار در تولید و بسط پایگاه‌های بازوکاوی شده، مطالعات بسیاری، به خصوص در داخل، نتایج خود را بر مبنای داده‌های اندازه‌گیری شده از پیمونگاه‌های آب و هوایی قرار می‌دهند؛ در حالی که، همان‌طور که گفته شد، این داده‌ها به دلیل تفکیک و توزیع نامناسب برای ارزیابی‌های زمانی-مکانی کارایی مناسبی ندارند. با این حال، مسعودیان (۱۳۸۲) پژوهش‌هایی با داده‌های یاخته‌ای پایگاه ملی اسفاری روی دمای ایران انجام داده است که، نسبت به پژوهش‌های سنتی بر پیمونگاه با توزیع فضایی نامنظم، تا به امروز، این پژوهش‌گر یکی از بهترین و دقیق‌ترین برآوردها را از دمای ایران ارائه کرده است.

بهرغم استفاده از داده‌های بازوکاوی شده در سطح جهان، در ایران از این پایگاه‌ها کمتر استفاده شده است. بنابراین، مطالعه حاضر با هدف ارزیابی میزان دقت داده‌های دمای پایگاه بازوکاوی شده مرکز پیش‌بینی میان‌مدت هواشناسی اروپایی (ECMWF) نسخه ERA-Interim با تفکیک مکانی ۱۲۵×۰،۰ درجه قوسی در هم‌سنجدی با داده‌های مشاهداتی پیمونگاه‌های آب و هواشناسی و پایگاه داده ملی اسفاری طراحی و اجرا شده است؛ در این راستا، دگرگونی زمانی-مکانی دمای کشور نیز ارزیابی شده است.

مواد و روش‌ها

الف) داده‌ها و پیش‌پردازش

۱. پیمونگاه‌های آب و هواشناسی همدید

در این پژوهش از داده‌های ۳۲ پیمونگاه آب و هواشناسی همدید (یاخته‌هایی با رنگ سرخ در شکل ۱ و جدول ۱) طی دوره آماری ۱۹۷۹-۲۰۱۵ به منظور صحبت‌سنجدی داده‌های مرکز پیش‌بینی میان‌مدت هواشناسی اروپایی (ECMWF)

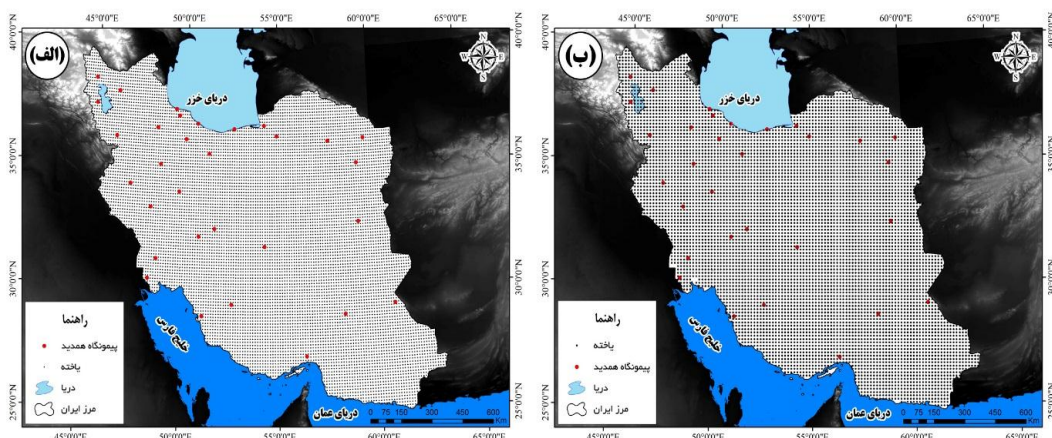
1. North American Regional Reanalysis (NARR)
2. Climate Forecast System Reanalysis (CFSR)

نسخه ERA-Interim استفاده شد. در انتخاب پیمونگاه‌ها، افزون بر لحاظ کردن مناطق آب‌وهوایی گوناگون کشور، سعی شد تا از هر استان یک پیمونگاه انتخاب شود.

۲. پایگاه ملی اسفزاری

دکتر سید ابوالفضل مسعودیان پایگاه داده اسفزاری را در دانشگاه اصفهان ایجاد کرده است. این پایگاه از داده‌های روزانه ۱۴۳۷ پیمونگاه همید و آب و هواشناسی طی بازه زمانی ۱۹۶۱/۱/۱ تا ۲۰۰۴/۱۲/۳۱ فراهم شده است. درون‌یابی این پایگاه با استفاده از روش زمین‌آماری کریجینگ بر روی یاخته‌ای به ابعاد 15×15 کیلومتر برای ایران اعمال شد (شکل ۱-الف). از داده‌های این پایگاه بهمنظور ارزیابی نموداری دقت پایگاه ECMWF نسخه ERA-Interim استفاده شد. صحبت این پایگاه داده را مسعودیان (۱۳۸۳) و منتظری (۱۳۹۳) برای دمای ایران تأیید کرده‌اند.

۳. پایگاه داده مرکز پیش‌بینی میان‌مدت هواسپهر اروپایی (ECMWF) نسخه ERA-Interim را مرکز پیش‌بینی میان‌مدت هواسپهر اروپایی (ECMWF) تولید کرده و توسعه داده است. این پایگاه با ارزیابی پراش چهاربعدی (4D) در یک شبکه طیفی با تسطیح مثلثی ۲۵۵ موجی (قریباً ۸۰ کیلومتر) اجرا می‌شود و به بازپروری فرآورده‌های گوناگون می‌پردازد. همچنین، سامانه قائم آن پیوندی و دارای ۶۰ سطح است. مدل جهانی ECMWF دارای ۱۲ ساعت است (سیمونز و همکاران، ۲۰۰۶). داده‌های این پایگاه به شکل ساعتی از سال ۱۹۷۹ در دسترس است که هر روزه توسط مرکز توسعه‌دهنده آن بهنگام می‌شود. تفکیک مکانی این پایگاه نیز بسیار متنوع است؛ به طوری که ۱۱ تفکیک مکانی مختلف از تارنمای این مرکز قابل سفارشی‌سازی و دریافت است که به ترتیب عبارت‌اند از: 3×3 , 3×2 , 2×2 , $1,5 \times 1,5$, $1,5 \times 1,125$, $1,125 \times 1,125$, 1×1 , $0,75 \times 0,75$, $0,5 \times 0,5$, $0,4 \times 0,4$, $0,25 \times 0,25$, $0,125 \times 0,125$ و $0,0625 \times 0,0625$ درجه قوسی. در این پژوهش داده‌هایی با تفکیک مکانی 125×125 درجه قوسی برای دوره زمانی ۱۹۷۹ به شکل روزانه از تارنمای مرکز مربوطه بارگیری شد. پس از رمزگشایی داده‌ها در محیط Matlab، آرایه‌ای به ابعاد 66×9966 ایجاد شد. در این آرایه، ۹۹۶۶ یاخته با فاصله نزدیک به 12.5 کیلومتر و 13140 تعداد روزهای مورد مطالعه‌اند. در گام بعدی ابعاد این آرایه به 12×9966 کاهش یافت که 12 معرف ماههای سال است.



شکل ۱. (الف) پایگاه داده مرکز پیش‌بینی میان‌مدت هواسپهر اروپایی (ECMWF) نسخه ERA-Interim با تفکیک مکانی 125×125 درجه قوسی؛ (ب) پایگاه ملی اسفزاری با تفکیک مکانی 15×15 کیلومتر. یاخته‌هایی بارنگ سرخ: پیمونگاه‌های آب هواشناسی همید

ب) ارزیابی دقت پایگاه بازوواکاوی شده ECMWF نسخه ERA-Interim برای دمای ایران

عدم قطعیت مشخصهٔ ذاتی در مدل‌هاست، بنابراین، بایسته است دقت و صحت فرآوردهٔ نهایی این دست از مدل‌ها و پایگاه‌های بازوواکاوی شده ارزیابی شود (هودگس و همکاران، ۲۰۱۱). یکی از شناخته‌شده‌ترین روش‌ها برای کشف عدم اطمینان مدل‌ها جفت‌کردن داده‌های بازوواکاوی شده با داده‌ای بدست‌آمده از پیمونگاه‌های آب و هواشناسی است (بنگستون و همکاران، ۲۰۰۴).

همان‌طور که گفته شد، برای اعتبارسنجی داده‌های دمایی پایگاه ERA-Interim، یاخته‌های این پایگاه با داده‌های ۳۲ پیمونگاه هم‌دید منتخب کشور در بازه زمانی ۱۹۷۹-۲۰۱۵ راستی‌آزمایی شد. نزدیک‌ترین یاخته‌ها به پیمونگاه‌های منتخب برای بررسی انتخاب شدند. برای راستی‌آزمایی دو گروه داده از شاخص‌های آماری ضریب تعیین^۱ (R^2) و ریشهٔ متوسط مربع خطأ (RMSE)^۲ استفاده شد. شاخص ضریب تعیین با استفاده از رابطهٔ ۱ و شاخص ریشهٔ متوسط مربع خطأ با استفاده از رابطهٔ ۲ محاسبه شد.

$$RMSE = \sqrt{\frac{1}{n} \sum_{i=1}^n (y_i - \hat{y})^2} \quad (1)$$

$$R^2 = \frac{\left[\sum_{i=1}^n (x_i - \bar{x})(Y_i - \bar{Y}) \right]^2}{\sum_{i=1}^n (x_i - \bar{x})^2 \sum_{i=1}^n (Y_i - \bar{Y})^2} \quad (2)$$

در رابطه‌های ۱ و ۲، n تعداد نقاط مشاهده‌ای است، y_i مقدار شبیه‌سازی شده برای نقطه i ام، \hat{y} مقدار مشاهده شده برای نقطه i ام.

ج) محاسبهٔ بعد فرکتالی^۳ دمای ماهانه ایران به منظور دگردیسی زمانی

فرکتال شاخه‌ای از هندسه است که در آن پدیده‌ها و اجسام پیچیده و نامنظم مطالعه می‌شود. بر اساس فرکtal، اجسام و پدیده‌های طبیعی از بُعدهای صحیح، منظم، و گسسته پیروی نمی‌کنند، بلکه دارای بُعدهای اعشاری، نامنظم، و پیوسته‌اند (میرکولی و همکاران، ۱۳۹۳). درواقع، هندسهٔ اقلیدسی زبان دقیقی برای تفسیر آشکال طبیعی نیست و بر عکس آن فرکتال از فرایندهای پویا به وجود می‌آید. در حقیقت، هندسهٔ فرکتال تصویر ریاضی از بی‌نظمی است (سروزاده و اشتیاقی، ۱۳۹۰).

برای توصیف خودتشابهی در این روش، از بُعد فرکتالی استفاده می‌شود. این عدد بین ۱ تا ۲ متغیر است و نشان‌دهندهٔ دگرگونی کوتاه تا بلندمدت دامنهٔ سنجه در مکان یا زمان است. هرقدر این عدد به ۱ نزدیک‌تر باشد، نشان‌دهندهٔ دگرگونی بلندمدت دامنهٔ سنجه و هر چه به عدد ۲ نزدیک‌تر باشد، نشان‌دهندهٔ دگرگونی کوتاه‌مدت سنجه است. هنگامی که موضوع سری زمانی در میان باشد، بُعد فرکتالی یک سری توصیف‌کنندهٔ رابطهٔ بین پراش اختلاف مقادیر مورد بررسی- که در فاصله‌ای مشخص از یکدیگر واقع شده‌اند- و مقیاس فاصلهٔ زمانی خواهد بود. ابعاد فرکتال در واکاوی دگرگونی‌های فضایی به شرح رابطهٔ ۳ محاسبه می‌شود (ترزی و کایا، ۲۰۰۸).

$$D = [\log N(2^{-(k+1)}) - \log N(2^{-k})] / [\log 2^{k+1} - \log 2^k] = \log_2 [N(2^{-(k+1)}) / N(2^{-k})] \quad (3)$$

1. Coefficient of Determination (R^2)

2. Root Mean Square Error (RMSE)

3. Fractal

در این رابطه k^2 اندازه شبکه، N تعداد در هر شبکه، D بُعد فرکتال، و k اعداد طبیعی است (قرخلو و زنگنه شهرکی، ۱۳۸۸).

یافته‌های پژوهش

صحت‌سنجی برونو داد پایگاه داده مرکز پیش‌بینی میان‌مدت هواشناسی اروپایی (ECMWF) نسخه ERA Interim از میانگین دمای هوا

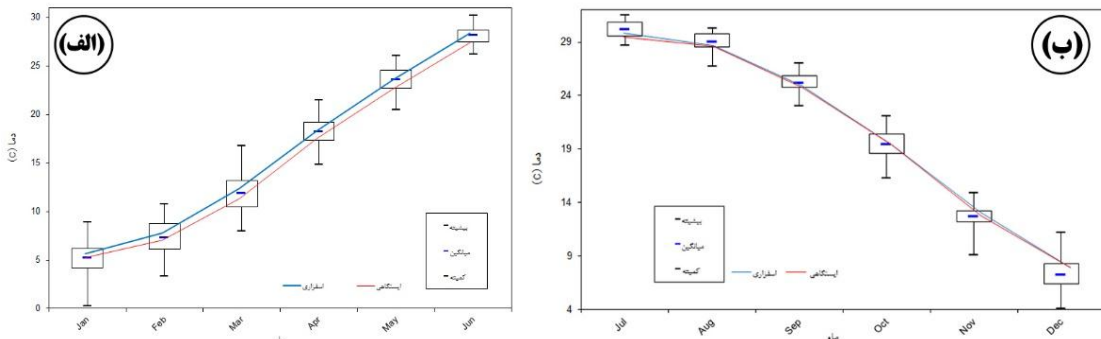
نتایج صحت‌سنجی بین پایگاه داده مرکز پیش‌بینی میان‌مدت هواشناسی اروپایی (ECMWF) نسخه ERA-Interim و پیمونگاه‌های همدید منتخب کشور برای دوره ۱۹۷۹-۲۰۱۵ در جدول ۱ به صورت ماهیانه مشخص شده است. علت هم‌سنجی داده‌های دمایی در مقیاس ماهیانه به سرشت آب و هوایی ایران مربوط است؛ زیرا در فضای پیچیده جغرافیایی ایران دگرگونی دما به تدریج عوض می‌شود؛ به‌طوری‌که اگر این هم‌سنجی در پیمانهٔ فعلی و سالانه انجام می‌شد، این امکان وجود داشت که با توجه به میانگین‌گیری برخی رفتارهای خرد آب و هواشناسی دمای کشور متاثر از مقدار پارامتر آماری میانگین می‌شد. بنابراین، مطالعهٔ ماهیانه می‌تواند رفتار دمایی کشور را بهتر نشان دهد و مقدار آماره‌های صحت‌سنجی نیز خطای کمتری را ناشی از میانگین‌گیری ارائه می‌دهند.

برای اعتبارسنجی از معیارهای ریشهٔ میانگین مربع خطاهای و ضریب تعیین استفاده شد. خروجی پایگاه داده مرکز پیش‌بینی میان‌مدت هواشناسی اروپایی (ECMWF) نسخه ERA Interim برای دمای ایران در ماههای مختلف از عملکرد مناسبی برخوردار است؛ به‌طوری‌که در بیشتر پیمونگاه‌های موردمطالعه در این بخش بیش از ۹۸٪ ضریب تعیین بین داده‌های این پایگاه با داده مشاهده شده و ثبت شده در پیمونگاه‌های آب و هواشناسی همدیدی کشور مشاهده می‌شود. این نتایج حاکی از دقیقیت بسیار زیاد این پایگاه در پیش‌بینی دمای هوا در ایران است. نتایج معیار ریشهٔ میانگین مربع خطاهای در بین پیمونگاه‌ها از ۰,۵۳۱ در شاهرود تا ۰,۵۹۳ در اصفهان متغیر است. نتایج معیار RMSE در پیمونگاه‌های مناطق کوهستانی و مرتفع از عملکرد کمتری نسبت به پیمونگاه‌های داخلی و کم ارتفاع برخوردار بوده است. به‌طور متوسط، نتایج RMSE بین ۰,۵ تا ۰,۵۱ است که این موضوع نشان می‌دهد عملکرد این پایگاه در پیش‌بینی دمای هوای ایران مطلوب است.

جدول ۱ مقادیر شاخص ریشهٔ متوسط مربع خطای (RMSE) و ضریب تعیین (R^2) بین پایگاه داده مرکز پیش‌بینی میان‌مدت هواشناسی اروپایی (ECMWF) نسخه ERA Interim و پیمونگاه‌های همدید منتخب کشور برای دوره ۱۹۷۹-۲۰۱۵

R^2	RMSE	پیمونگاه	R^2	RMSE	پیمونگاه	R^2	RMSE	پیمونگاه	R^2	RMSE	پیمونگاه
۰,۹۹	۰,۵۳۱	شهرود	۰,۹۹	۰,۸۷۲	مشهد	۰,۹۹	۲,۰۹۸	بوشهر	۰,۹۹	۱,۶۴۱	آبدان
۰,۹۹	۱,۱۴۷	شیزار	۰,۹۹	۱,۱۶۹	ارومیه	۰,۹۸	۴,۵۹۳	اصفهان	۰,۹۹	۰,۹۶۸	اهواز
۰,۹۹	۲,۶۸۰	تبریز	۰,۹۶	۲,۸۲۴	رامسر	۰,۹۹	۲,۰۴۱	قزوین	۰,۹۷	۲,۹۶۸	انزلی
۰,۹۹	۲,۴۳۱	تهران	۰,۹۹	۲,۸۰۶	رشت	۰,۹۹	۲,۵۲۹	گرگان	۰,۹۹	۱,۶۶۳	اراک
۰,۹۹	۰,۹۰۵	تریت‌حیدریه	۰,۹۹	۲,۶۳۴	سیزوار	۰,۹۹	۰,۷۷۸	همدان نوزه	۰,۹۹	۳,۷۲۲	بابلسر
۰,۹۹	۱,۱۰۳	یزد	۰,۹۹	۰,۷۷۰	سقز	۰,۹۹	۱,۳۴۹	کرمانشاه	۰,۹۹	۱,۶۲۷	بم
۰,۹۹	۲,۴۰۶	Zahedan	۰,۹۰	۳,۲۳۵	سنندج	۰,۹۹	۲,۲۸۰	خرم‌آباد	۰,۹۹	۱,۵۴۹	بندرعباس
۰,۹۱	۳,۳۵۹	زنجان	۰,۹۹	۱,۳۲۲	شهرکرد	۰,۹۹	۲,۸۷۹	خوی	۰,۹۹	۰,۵۶۶	بیرون‌جند

برای اطمینان بیشتر، برونداد دمای هوا با دمای مشاهده شده پیمونگاهی و همچنین پایگاه داده آب و هواشناسی ملی اسفاری همسنجی و در شکل ۲ مشخص شده است. نتایج نشان می‌دهد که برونداد پایگاه ECMWF برای دمای هوا با نتایج پیمونگاهی (خط آبی) و پایگاه ملی اسفاری (خط قرمز) از نتایج خوبی برخوردار است. در ششماهه دوم سال یا نیمه گرم سال، نتایج همسنجی برونداد پایگاه ECMWF با داده‌های زمینی و پایگاه آب و هواشناسی اسفاری از نتایج بهتری برخوردار است. در ششماهه اول یا ایام سرد سال، داده‌های مشاهدات زمینی و پایگاه آب و هواشناسی اسفاری و برونداد پایگاه ECMWF کمی از هم فاصله دارند؛ این موضوع می‌تواند ناشی از نایابیاری‌های زیاد و همچنین فرارفتهای هوایی باشد که در ایام سرد سال در بیشتر مواقع مستولی است. در ششماهه دوم یا ایام گرم سال نتایج برونداد پایگاه ECMWF و مشاهدات زمینی و پایگاه اسفاری کاملاً بر همدیگر منطبق بوده‌اند؛ به طوری که بر روی یک خط پراکنش پیدا کرده‌اند. همان‌طور که پیداست، الگوی دمای ایران زنگدیس است. مسعودیان (۱۳۸۲) الگوی زنگدیس دگرگونی ماهانه دما را ناشی از زاویه تابش خورشید در طول سال و جابه‌جایی سامانه‌های همدید- که آب و هوای ایران را می‌سازد- مرتبط می‌داند. اکبری و مسعودیان (۱۳۸۸) با شناسایی رژیم دمایی و پهنه‌بندی نواحی آن در ایران با ۳۳۸ پیمونگاه الگوی زنگدیس دما را تأیید کردند. آنان پیروی دمای ایران از چنین الگویی را ناشی از هسته، پوسته، و ماههای گذار هر فصل دانسته‌اند. این طبقه‌بندی نشان داد اوج خصوصیات دمایی هر فصل در هسته آن تجلی می‌یابد و ماههای دو طرف هسته در هر فصل پوسته فصل نامیده می‌شود؛ پوسته آغاز و پایین هر فصل را نشان می‌دهد؛ بازه زمانی‌ای را که یک فصل به فصل دیگر تغییر حالت می‌یابد ماه گذار نامیده‌اند که به هیچ یک از فصول سرد و گرم تعلق ندارد و شرایط معتدلی را نشان می‌دهد.



شکل ۲. همسنجی دمای ماهیانه ایران مبتنی بر برونداد پایگاه پیش‌بینی میان‌مدت هواسپهر اروپایی (ECMWF) نسخه-ERA Interim و دمای پیمونگاهی و پایگاه ملی اسفاری؛ (الف) ششماهه اول سال؛ (ب) ششماهه دوم سال

ماههای دسامبر تا فوریه DJF

نتایج مشخصات آماری دمای هوا در ماههای دسامبر تا فوریه مبتنی بر برونداد پایگاه داده مرکز پیش‌بینی میان‌مدت هواسپهر اروپایی (ECMWF) نسخه ERA Interim در جدول ۲ مشخص شده است. در ماههای فصل سرد، از دسامبر تا مارس، میانگین دمای هوا بهترتبی از $\frac{7}{2}$ تا $\frac{7}{3}$ در نوسان است. کمینه دمای هوا بهترتبی از -3°C تا -6°C متغیر است و بیشینه دمای هوا از 21°C تا 23°C درجه سانتی‌گراد متغیر است. پراکندگی دمایی ماه دسامبر بیشتر از ماههای زانویه و فوریه است. توزیع داده از طریق معیار چولگی در ماه دسامبر 0.51 ، زانویه 0.41 ، و ماه فوریه 0.30 به صورت چوله مثبت مشاهده شد. در ماههای سرد، توزیع دمایها بیشتر از چوله مثبت برخوردارند. درواقع، مقادیر کمتر از میانگین از فراوانی

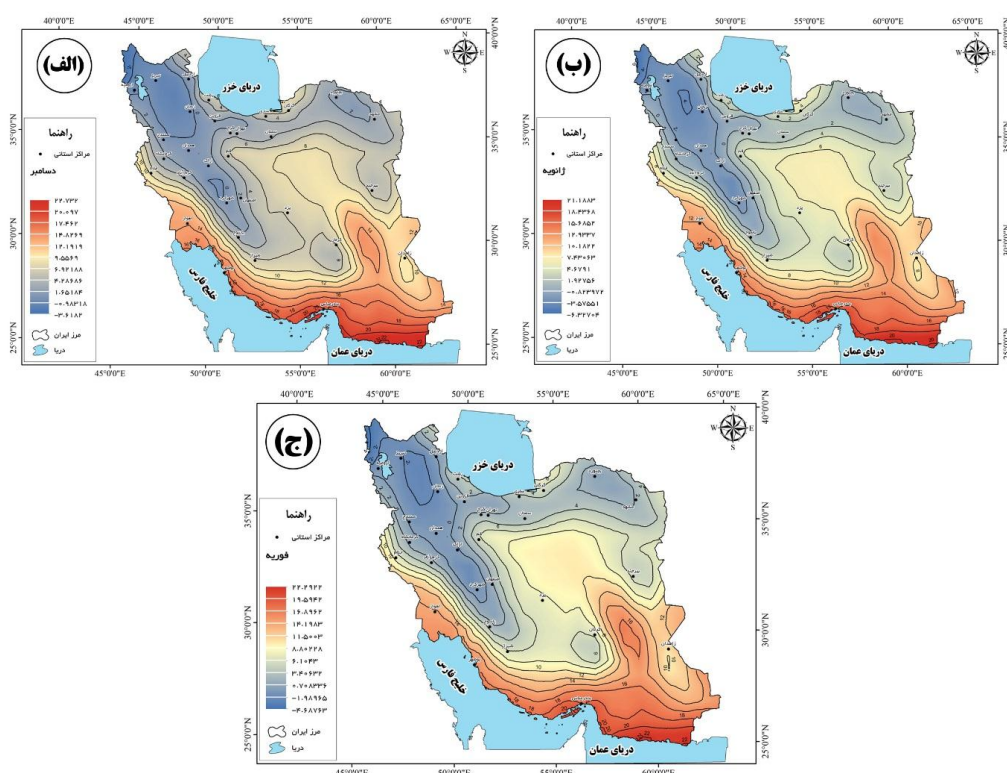
بیشتری برخوردارند. ارتباط بین دمای هوا و مؤلفه‌های مکانی (طول و عرض جغرافیایی و ارتفاع از سطح دریا) در جدول ۳ مشخص شده است. دمای هوا در ماه‌های سرد با پارامتر مکانی عرض جغرافیایی بیشترین ارتباط را دارد؛ میزان این ضریب بیش از ۰/۸۲ مشخص شد. پس از عرض جغرافیایی، عامل ارتفاع از سطح دریا از ارتباط بیشتری با میزان دمای هوا برخوردار است. خصامت وردسپهر نیز، به منزله عاملی کارساز، بر روی دمای ایران نقش‌آفرینی می‌کند؛ به طوری که در فصل سرد سال، که خصامت وردسپهر کاهش می‌یابد، به تبع آن افたهنگ دما نیز افزایش می‌یابد. مسعودیان (۱۳۸۲) نیز در مطالعه ساختار دمای ماهانه ایران با استفاده از داده‌های مشاهداتی به چنین نتیجه‌ای رسیده است؛ در مقابل، در دوره گرم سال، که خصامت وردسپهر افزایش می‌یابد، افتابنگ دما نیز کاهش می‌یابد. دگردیسی زمانی ماهانه سپتامبر تا نوامبر مبتنی بر برونداد پایگاه داده مرکز پیش‌بینی میان‌مدت هواسپهر اروپایی (ECMWF) نسخه ERA Interim در جدول ۴ مشخص شده است. در ماه‌های دسامبر تا فوریه بُعد فرکتالی ۱/۴ و خطای استاندارد ۰/۰۹۲ و میزان ضریب تعیین^۲ R^{۰/۹۶} برای این ماهها از سال در دمای هوا مشاهده می‌شود.

توزیع مکانی دمای هوا در ماه‌های سرد سال از دسامبر تا فوریه در شکل ۳ مشخص شده است. در حالت اولیه الگوی فضایی دمای هوا در ماه‌های سرد سال نشان‌دهنده نقش کارساز مؤلفه مکانی عرض جغرافیایی در توزیع و ساختار آن است؛ به طوری که در مناطقی با عرض‌های بالا و مرتفع دماهای بیشتر به کمتر از صفر درجه گرایش دارند؛ در حالی که در نیمة جنوبی و عرض‌های پایین‌تر دمای هوا تا ۲۲ درجه سانتی‌گراد در تغییر است.

الگوی فضایی دما در ایران را می‌توان متأثر از مشخصه‌های جغرافیایی و آب و هوایی دانست. مشخصه‌های جغرافیایی مهم در دمای ایران به ترتیب اهمیت عبارت‌اند از: ۱. ارتفاع؛ ۲. عرض جغرافیایی؛ ۳. طول جغرافیایی. مشخصه‌های آب و هوایی را هم می‌توان با رطوبت جوی، ابرناکی، شفافیت جوی و مسیر ورود سامانه‌های توده‌های هوا مرتبط دانست. رطوبت جوی نیز یکی از مهم‌ترین پارامترهای آب و هوایی است که نقشی تعیین‌کننده در دما دارد؛ به طوری که دارند (۱۳۹۴)، که دگرگونی زمانی-مکانی رطوبت را با استفاده از پایگاه ECMWF برای ایران انجام داده است، به این نتیجه رسید که افزایش گازهای گلخانه‌ای بخار آب در جو در کرانه‌های جنوب کشور و جنوب غرب دریای خزر بیلان تابشی را دگرگون خواهد کرد و در پس‌خور مثبتی به افزایش دما منجر خواهد شد.

سامانه‌های همیدی در دمای ایران در فصول مختلف سال متفاوت‌اند. علیجانی (۱۳۸۹) موقعیت جغرافیایی ایران را عاملی مهم در بهره‌مندی از سامانه‌های همیدی دانسته است. سامانه‌های مؤثر در دمای ایران عبارت‌اند از: پُرفشار سیبری، اقیانوس هند، پُرفشار عربستان، کم‌پُرفشار سند، و دریای مدیترانه. مسعودیان (۱۳۹۰) نیز حاکمیت پُرفشار جنب حاره در دوره گرم سال به‌ویژه در عرض‌های جنوبی‌تر و حاکمیت پُرفشار سیبری در دوره سرد سال به‌ویژه در شمال شرق بر دمای ایران را مهم دانسته است. وی همچنین بیان کرده است که تنوع سامانه‌های همید مؤثر در دوره سرد سال موجب تفاوت چشمگیر دمای نقاط مختلف کشور می‌شود. اهمیت پُرفشار سیبری در پراکنش دمای ایران باعث شده است تا پژوهش‌های بسیاری در کشور انجام شود؛ به طوری که حلیان و شبانکاری (۱۳۹۱) نقش این پُرفشار حرارتی-دینامیکی را در دمای کمینه روزانه ایران قابل توجه دانسته‌اند؛ به طوری که درصد از پیمونگاه‌های کشور (از ۴۲۳ پیمونگاه موجود در آن پژوهش) از نظر دمای کمینه تحت تأثیر سامانه پُرفشار سیبری‌اند. در گاهیان و همکاران (۱۳۹۳)، با شناسایی الگوهای همید سامانه‌های بنداگی مؤثر بر دمای ایران، دریافتند که دماهای بیش از نرمال یا کمتر از نرمال ناشی از رخداد سامانه بنداگی، علاوه بر تداوم، با تأخیر زمانی یک‌روزه یا کمتر در سطح زمین مرتبطاند.

دماه هوا در ماه ژانویه از ۶-۲۲ درجه سانتی‌گراد در مناطق نیمه شمالی و جنوبی کشور متغیر است. اختلاف دمایی در این ماه ۳۷ درجه سانتی‌گراد است. الگوی فضایی دمای هوا در این موقع از سال نشان می‌دهد که از شمال به جنوب و از غرب به شرق دما افزایش می‌یابد و ناهمواری‌ها عامل بسیار مهمی در تفاوت مکانی دمای هوا بهشمار می‌روند. رضیئی (۱۳۹۶) دمای بیشتر منطقه ساحلی و جنوب را ناشی از اثر دریا و عرض جغرافیایی پایین دانسته و دمای بالای ناحیه ساحلی خزری را ناشی از اثر تعديل کننده دریای خزر در دوره سرد سال دانسته است؛ با مقایسه توزیع فضایی دمای ماهیانه ایران در ماههای دسامبر تا فوریه مبتنی بر نتایج پایگاه ECMWF مشخص می‌شود که سواحل خزر، به رغم عرض جغرافیایی بالا، که باید دمای کمتری داشته باشد، به صورت یک ناحیه دمایی مجزا رخنود داشته که ناشی از اثر تعديلی دریاست.



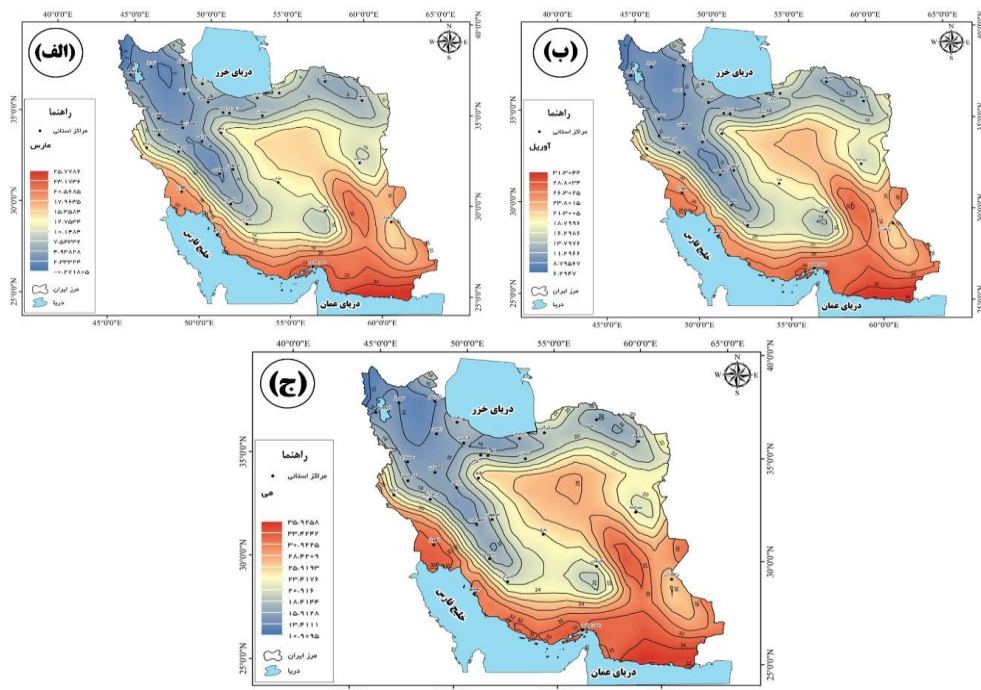
شکل ۳. دمای ماهیانه ایران مبتنی بر بروونداد پایگاه پیش‌بینی میان‌مدت هواسپهر اروپایی (ECMWF) نسخه ERA-Interim
الف) ماه دسامبر؛ ب) ماه ژانویه؛ ج) ماه فوریه

ماههای مارس تا می MAM

در جدول ۲ نتایج مشخصات آماری دمای هوا در ماههای مارس تا می مبتنی بر بروونداد پایگاه داده مرکز پیش‌بینی میان‌مدت هواسپهر اروپایی (ECMWF) نسخه ERA Interim مشخص شده است. در این بازه زمانی از سال، میانگین دمای هوا از ماه مارس تا می به ترتیب برابر با ۱۱/۸، ۱۱/۶، ۲۳/۶، و ۲۸/۲ مشاهده شد. دامنه دگرگونی ۲۳ تا ۲۵ و پراش داده‌ها در ماههای مارس و آوریل ۳۳ و در ماه می به میزان ۳۵ مشاهده شد. وضعیت توزیع داده از طریق معیار چولگی نشان می‌دهد که مقدار چولگی در ماه مارس ۰/۲۰، در ماه آوریل ۰/۱۱، و در ماه می ۰/۰۲ – است. هرچه از ایام سرد به سمت فصل بهار گذار صورت می‌گیرد از میزان چولگی داده کمتر می‌شود. درواقع، میزان چولگی داده‌های دما در ماههای سرد بیشتر از دیگر فصول سال به خصوص ایام گرم است؛ این شرایط می‌توانند در پیوند با فراوانی الگوهای جوی بزرگ مقیاس

و میان مقیاس، که وضعیت دمایی را تحت تأثیر قرار می‌دهند، باشد. بیشینه دما در ماه‌های مارس تا می بهترتب از ۲۵ تا ۳۵ درجه سانتی‌گراد در نوسان است و کمینه دما در این دوره از سال بهترتب ۰،۳۷، ۰،۶۲ و ۰،۹۱ است. همبستگی بین دمای هوا و مؤلفه‌های مکانی (جدول ۳) در ماه‌های مارس تا می بهترتب ۰،۸۱، ۰،۷۷ و ۰،۷۸ مشاهده می‌شود. بعد فرکتالی و خطای استاندارد و ضریب تعیین دمای هوا در این ماه‌ها در جدول ۴ مشخص شده است. بُعد فرکتالی در این ماه‌ها ۱،۴ و خطای استاندارد ۰،۱۱۱، ۰،۱۰۶ و ۰،۱۰۹ ضریب تعیین برابر با ۰،۹۶ است.

توزیع فضایی دمای هوا در ماه‌های آوریل تا ژوئن در شکل ۴ مشخص شده است. در ماه مارس، توزیع دما از ۰،۲۷ تا ۲۵ درجه سانتی‌گراد بین مناطق با عرض بالاتر و عرض‌های پایین‌تر در نوسان است. در ماه آوریل دما از ۶ درجه تا ۳۱ درجه سانتی‌گراد در نوسان است و در ماه می وضعیت دمایها بین مناطق شمالی و جنوبی از ۹ تا ۳۱ درجه سانتی‌گراد است. توزیع فضایی دمای هوا در این بازه زمانی از عامل عرض جغرافیایی بیشترین تأثیر را می‌پذیرد و از شمال به جنوب و از غرب به شرق با کاهش چشم‌انداز ناهمواری‌ها دمای هوا افزایش می‌یابد. عوامل پایدار محلی به خصوص گستره جغرافیایی و ارتفاع از سطح دریا در تنوع و تفاوت‌های مکانی دما نقش کارسازی ایفا می‌کند. علت اهمیت عامل عرض جغرافیایی در این بازه از سال بر ساختار دمایی ایران را می‌توان بر دگرگونی مقدار ابرناکی و آفتاب‌گیری مکان نسبت داد. همچنین، علیجانی (۱۳۸۹) به این نتیجه رسیده است که در دوره گرم سال در جنوب زاویه تابش بالاتر و در شمال کشور طول روز طولانی‌تر است. بنابراین، تفاوت انرژی تابشی روزانه، که عاملی مهم در گرمایش جو است، به کمترین مقدار ممکن می‌رسد. با شروع فصل بهار و افزایش نسبی هوا ناهمواری‌ها در جای‌جای مناطق کشور عامل اصلی تعديل دمای هواست؛ به طوری که در ماه می (شکل ۴-ج)، ارتفاعات کرمان نسبت به مناطق مجاور خود دمای کمتری را نشان می‌دهد. خنکای سواحل خزری را نیز می‌توان متاثر از عامل تعديل کننده رطوبت هوا دانست.



شکل ۴. دمای ماهیانه ایران مبتنی بر برونداد پایگاه پیش‌بینی میان‌مدت هواسپهیر اروپایی (ECMWF) نسخه ERA-Interim
الف) ماه مارس؛ ب) ماه آوریل؛ ج) ماه می

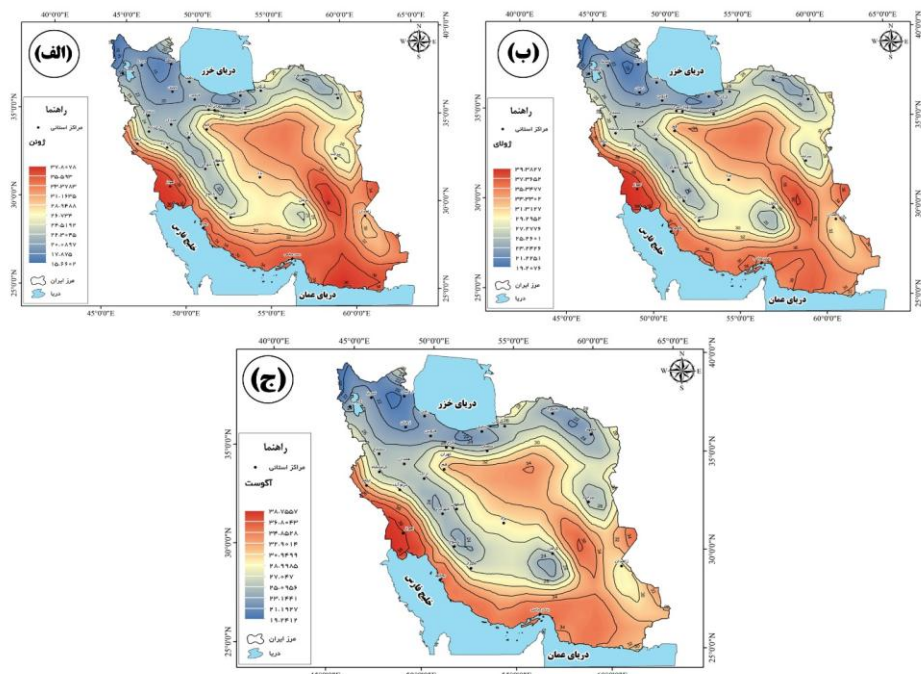
ماه‌های ژوئن تا آگوست JJA

نتایج مشخصات آماری دمای هوا در ماه‌های ژوئن تا آگوست در جدول ۲ مشخص شده است. میانگین دمای هوا در ماه‌های ژوئن تا آگوست به ترتیب $28/2^{\circ}$ ، 30° و 29° درجه سانتی‌گراد مشاهده شد. دامنه دگرگونی در ماه‌های ژوئن، جولای، و آگوست به ترتیب $22/3^{\circ}$ ، $20/3^{\circ}$ و $19/6^{\circ}$ و پراش دما در این ماهها به ترتیب $27/9^{\circ}$ ، $20/9^{\circ}$ و $18/4^{\circ}$ مشاهده شد. دامنه دگرگونی و پراش ماه‌های جولای و آگوست بیشتر از ماه سپتامبر است. توزیع داده‌های دما بر طبق شاخص چولگی در این ماهها به ترتیب $0/23^{\circ}$ ، $0/22^{\circ}$ و $0/07^{\circ}$ است. کمترین میزان چولگی در این بازه زمانی در ماه سپتامبر کمتر مشاهده می‌شود. همچنین، ماه‌های جولای و آگوست از چولگی بیشتری نسبت به ماه سپتامبر برخوردارند. همیستگی بین دمای هوا و مؤلفه‌های مکانی نشان می‌دهد که دمای هوا با عرض جغرافیایی برای ماه‌های ژوئن، جولای، و آگوست به ترتیب $1/5^{\circ}$ ، $0/74^{\circ}$ و $0/67^{\circ}$ بوده است (جدول ۳). بعد فرکتالی دمای هوا در این ماهها (جدول ۴) به ترتیب $1/5^{\circ}$ ، $1/6^{\circ}$ و میزان خطای استاندارد از $0/12^{\circ}$ ، $0/11^{\circ}$ و $0/14^{\circ}$ و همچنین میزان ضریب تعیین² مشاهده می‌شود.

توزیع فضایی ماه‌های ژوئن تا آگوست در شکل ۵ مشخص شده است. در این ماهها، دمای هوا به اوج خود می‌رسد و در ماه‌های ژوئن، جولای، و آگوست به ترتیب دما در بالاترین حالت به 37° تا 39° درجه سانتی‌گراد در مناطق نیمه جنوبی و مرکز ایران می‌رسد و در کمترین حالت از 19° تا 15° درجه سانتی‌گراد در مناطق منطبق بر نواحی مرتفع نیمه شمالی و غربی کشور و ارتفاعات پراکنده شمال شرق و حاشیه مناطق مرکزی ایران است. در این ماهها، عامل عرض جغرافیایی در وهله اول و بعد ارتفاع از سطح دریا در ایجاد الگوی فضایی دمای هوا نقش آفرینی می‌کند. این بازه زمانی در طول سال گرمترین شرایط دمایی را در ایران دارد. نواحی مرکزی در کویر لوت و نیمه جنوبی مجاور ساحل و همچنین منطقه خوزستان و شمال خلیج فارس کانون گرمترین مناطق ایران زمین بهشمار می‌روند. از یک طرف، سواحلی جنوبی کشور کانون دمای بیشینه کشورند؛ از طرف دیگر، نیز تفاوت گرمترین و سردترین ماه سال در این مناطق به سبب عامل تعییل کننده دریا و عرض جغرافیایی پایین است. مقایسه الگوی دمایی سواحل خلیج فارس و دریای عمان یکی دیگر از رفتارهای آب و هوایی ایران را روشن می‌کند. در سواحل دریای عمان به علت عرض جغرافیایی پایین نسبت به سواحل خلیج فارس اختلاف کمتری در دمای آن مشاهده می‌شود. اما آنچه در این دو ناحیه از ایران در فصل گرم سال بهخصوص در فصل تابستان نمود یافته؛ این است که دمای سواحل جنوب‌شرقی عمان در ماه‌های ژوئن (اواخر ماه) تا سپتامبر به شکل قابل توجهی کمتر از سواحل خلیج فارس است. این رفتار دمایی از یک سو می‌تواند ناشی از نقش آب هوای آزاد و تعییل کننده‌گی دمایی و از سوی دیگر فعل شدن سامانه موسمی در جنوب‌شرق ایران باشد.

ماه‌های سپتامبر تا نوامبر SON

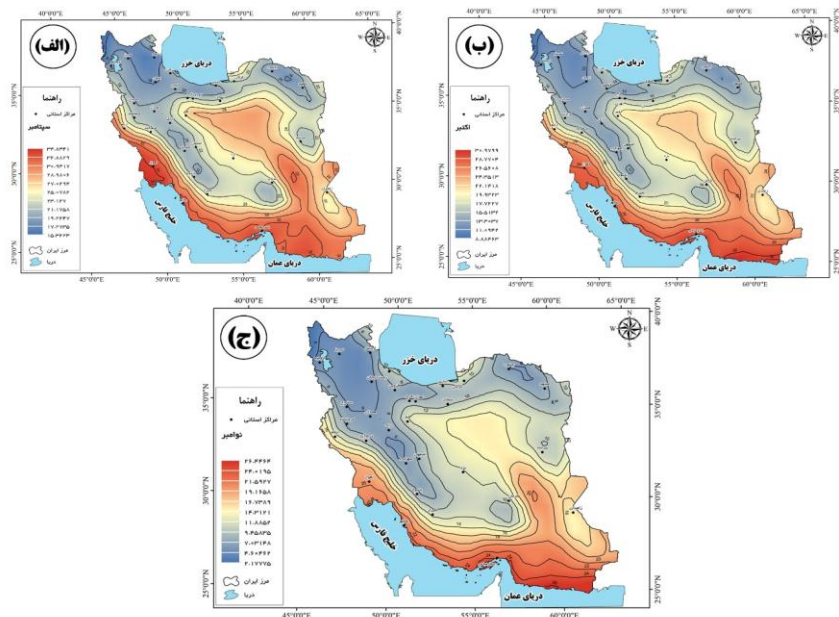
نتایج مشخصات آماری دمای هوا در ماه‌های سپتامبر تا نوامبر مبتنی بر برونداده پایگاه داده بازوکاوی شده (ECMWF) نسخه ERA Interim در جدول ۲ مشخص شده است. در این بازه زمانی، میانگین دمای هوا در ماه‌های سپتامبر تا نوامبر به ترتیب 25° ، 19° و 12° درجه سانتی‌گراد در نوسان است. بیشینه دما در این ماهها به ترتیب 34° ، 31° و 26° درجه سانتی‌گراد و کمینه دماها نیز 8° ، 15° و 2° درجه سانتی‌گراد مشاهده می‌شود. پراش دماها از ماه سپتامبر به سمت ماه نوامبر افزایش می‌یابد؛ به طوری که این میزان پراش از 20° به 27° درجه سانتی‌گراد در ماه نوامبر می‌رسد. توزیع دماها در این بازه زمانی از ماه‌های گرم سال به سمت ماه‌های فصل پاییز افزایش می‌یابد؛ به طوری که از ماه سپتامبر تا نوامبر به ترتیب به میزان $0/06^{\circ}$ ، $0/26^{\circ}$ و $0/43^{\circ}$ در نوسان است.



شکل ۵. دمای ماهیانه ایران مبتنی بر برونداد پایگاه پیش‌بینی میان‌مدت هواسپهر اروپایی (ECMWF) نسخه ERA-Interim
الف) ماه زوئن؛ ب) ماه ژولای؛ ج) ماه آگوست

همبستگی میانگین دمای ایران در ماه‌های سپتامبر تا نوامبر مبتنی بر برونداد پایگاه داده بازووا کای شده (ECMWF) نسخه ERA Interim با ارتفاع، طول، و عرض جغرافیایی ($P - Value < 0.05$) در جدول ۳ مشخص شده است. در این بازه زمانی، یعنی ماه‌های سپتامبر تا نوامبر، میزان همبستگی بین مؤلفه‌های مکان و دمای هوا در سطح نسبتاً بالایی قرار دارد. بیشترین همبستگی بین دمای هوا در این ماه‌ها در عامل عرض جغرافیایی مشاهده می‌شود. میزان این همبستگی به ترتیب ۰/۷۹، ۰/۷۹، و ۰/۷۳ – به صورت معکوس است. بعد فرکتالی میانگین دمای ایران در ماه‌های سپتامبر تا نوامبر نیز در جدول ۴ مشخص شده است. در این ماه‌ها، بعد فرکتالی ۱/۵ تا ۱/۴ در تغییر است. خطای استاندارد در ماه‌های نوامبر و اکتبر کمتر از ماه سپتامبر است و میزان ضریب تعیین R^2 در این ماه‌ها برابر با ۰/۹۵ مشاهده می‌شود.

توزیع فضایی دمای هوا در ماه‌های سپتامبر تا نوامبر در شکل ۶ مشخص شده است. توزیع دما در این ماه‌ها نشان‌دهنده گسترش دمای خنک و سرد از عرض‌های بالا به سمت عرض‌های پایین‌تر است. به تدریج، از ماه سپتامبر میزان دمای خنک و سرد افزوده می‌شود. کانون نواحی گرم به مناطق نوار جنوبی محدود می‌شود. توزیع دماها در گرمترین و خنک‌ترین یا سردترین حالت در ماه سپتامبر از ۳۴ تا ۱۵ درجه سانتی‌گراد و در ماه اکتبر از ۸ تا ۳۰ درجه سانتی‌گراد و در ماه نوامبر از ۲۶ تا ۲ درجه سانتی‌گراد بالاتر از صفر تغییر می‌یابد. در این بازه زمانی، مانند دیگر ماه‌های سال، الگوی دمای هوا از عامل عرض جغرافیایی در وهله اول و سپس ارتفاعات بام ایران تعیین می‌کند. توزیع فضایی دما در ماه‌های سپتامبر تا نوامبر نشان می‌دهد که در مناطق پست مرکزی و شرق ایران و نواحی کوهپایه‌ای، که اثر ارتفاع کاهش می‌یابد، مناطق پست داخلی و شرقی، که می‌توان از آن‌ها با نام نواحی دشتی یاد کرد، اختلاف دمای چشم‌گیری با مناطق کوهستانی البرز و زاگرس دارند.



شکل ۶. دمای ماهیانه ایران مبتنی بر برونداد پایگاه پیش‌بینی میان‌مدت هواشناسی اروپایی (ECMWF) نسخه ERA-Interim
الف) ماه سپتامبر؛ ب) ماه اکتبر؛ ج) ماه نوامبر

جدول ۲. مشخصات آماری میانگین دمای ایران مبتنی بر برونداد پایگاه داده مرکز پیش‌بینی میان‌مدت هواشناسی اروپایی
ERA Interim نسخه (ECMWF)

مشخصه‌های آماری	ژوئن	می	اوریل	مارس	فوریه	ژانویه
میانگین نمایه‌های میانه	۲۸,۲۲	۲۳,۶۱	۱۸,۲۶	۱۱,۸۷	۷,۳۱	۵,۲۳
میانگین نمایه‌های مرکزی	۲۸,۴۵	۲۳,۵۵	۱۷,۹۶	۱۱,۴۴	۸,۸۶	۴,۵۵
میانگین مد	۲۱,۴۳	۱۳,۹۴	۱۰,۳۰	۱۰,۳۴	-۴,۷۱	-۰,۷۰
دامنه دگرگونی نمایه‌های پراکندگی	۲۲,۳۱	۲۵,۰۹	۲۵,۰۸	۲۶,۱۸	۲۷,۰۵	۲۷,۸۴
واریانس انحراف معیار	۲۷,۹۷	۳۵,۳۴	۳۳,۳۶	۳۳,۶۲	۳۴,۱۵	۳۱,۳۱
کشیدگی توزیع	۵۲۹	۵,۹۴	۵,۷۸	۵,۸۰	۵,۸۴	۵,۶۰
نمایه‌های شکل چولگی	-۰,۹۹	-۱,۰۷	-۱,۰۱	-۰,۸۴	-۰,۷۰	-۰,۴۷
نمایه‌های توزیع آستانه‌ها	-۰,۲۲	-۰,۰۳	۰,۱۱	۰,۲۰	۰,۳۰	۰,۴۱
چارک اول آستانه‌ها	۲۳,۹۱	۱۸,۵۷	۱۲,۲۱	۷,۱۶	۲,۶۶	۱,۰۶
چارک سوم آستانه‌ها	۳۲,۶۴	۲۸,۲۶	۲۲,۶۵	۱۶,۱۸	۱۱,۵۳	۹,۰۸
بیشینه کران بالا و پایین	۳۷,۸۷	۳۵,۹۹	۳۱,۳۵	۲۵,۸۰	۲۲,۳۴	۲۱,۴۹
کمینه دامنه دگرگونی	۱۵,۵۶	۱۰,۹۰	۶,۲۸	-۰,۳۷	-۴,۷۱	-۶,۳۵
مشخصه‌های آماری میانگین نمایه‌های مرکزی	دسامبر	نوفمبر	اکتبر	سپتامبر	آگوست	ژویای
مشخصه‌های آماری میانگین نمایه‌های مرکزی	۷,۲۹	۱۲,۶۹	۱۹,۴۷	۲۵,۱۹	۲۹,۰۳	۳۰,۱۶
مشخصه‌های آماری میانگین نمایه‌های مرکزی	۶,۴۸	۱۱,۹۴	۱۸,۹۸	۲۵,۰۱	۲۹,۰۰	۳۰,۳۵
مشخصه‌های آماری میانگین نمایه‌های مرکزی	۱۳,۹۱	۷,۶۸ ^a	۱۲,۶۰	۲۰,۱۸	۲۲,۰۵	۲۱,۹۰
نمایه‌های شکل چولگی	۲۶,۷۱	۲۴,۴۳	۲۲,۲۲	۱۹,۶۰	۱۹,۶۱	۲۰,۲۵
نمایه‌های توزیع آستانه‌ها	۲۸,۵۳	۲۷,۲۸	۲۵,۱۹	۲۰,۵۰	۱۸,۴۴	۲۰,۹۶
نمایه‌های شکل چولگی آستانه‌ها	۵۲۴	۵,۲۲	۵,۰۲	۴,۵۳	۴,۲۹	۴,۵۸
نمایه‌های شکل چولگی آستانه‌ها	-۰,۳۴	-۰,۰۷	-۰,۸۷	-۱,۰۳	-۰,۹۲	-۰,۹۰
نمایه‌های شکل چولگی آستانه‌ها	۰,۵۱	۰,۴۳	۰,۲۶	۰,۰۶	-۰,۰۷	-۰,۲۳
نمایه‌های شکل چولگی آستانه‌ها	۳۲,۶	۸,۶۲	۱۵,۳۲	۲۱,۳۸	۲۵,۵۷	۲۶,۵۰
نمایه‌های شکل چولگی آستانه‌ها	۱۰,۸۵	۱۶,۱۹	۲۲,۸۸	۲۸,۷۵	۳۲,۶۱	۳۴,۱۲
نمایه‌های شکل چولگی آستانه‌ها	۲۳,۰۰	۲۶,۵۲	۲۱,۰۱	۲۴,۸۴	۳۸,۷۶	۳۹,۳۸
نمایه‌های شکل چولگی آستانه‌ها	-۳,۷۱	۲,۰۹	۸,۷۹	۱۵,۲۳	۱۹,۱۵	۱۹,۱۳

جدول ۳. همبستگی میانگین دمای ایران مبتنی بر برونداد پایگاه داده مرکز پیش‌بینی میان‌مدت هواشناسی اروپایی (ECMWF) با ارتفاع، طول، و عرض جغرافیایی ($P - Value < 0.05$)
نسخه ERA Interim

آماره/ماه	ژانویه	فوریه	مارس	اوریل	می	ژوئن
طول جغرافیایی	-۰,۵۴۶	-۰,۵۶۵	-۰,۵۸۹	-۰,۶۰۰	-۰,۵۷۶	-۰,۵۳۷
عرض جغرافیایی	-۰,۸۲۶	-۰,۸۳۴	-۰,۸۱۱	-۰,۷۷۶	-۰,۷۸۱	-۰,۷۴۵
ارتفاع	-۰,۶۳۵	-۰,۶۲۰	-۰,۶۲۷	-۰,۶۳۹	-۰,۶۳۳	-۰,۶۲۲
آماره/ماه	ژولای	آگوست	سپتامبر	اکتبر	نوامبر	دسامبر
طول جغرافیایی	-۰,۴۳۹	-۰,۳۵۱	-۰,۳۸۹	-۰,۴۴۳	-۰,۵۷	-۰,۵۲۵
عرض جغرافیایی	-۰,۶۷۹	-۰,۶۶۶	-۰,۷۳۵	-۰,۷۹۶	-۰,۸۲۰	-۰,۸۳۴
ارتفاع	-۰,۶۲۹	-۰,۶۵۱	-۰,۶۵۷	-۰,۶۵۳	-۰,۶۴۶	-۰,۶۳۴

جدول ۴ بُعد فرکتالی محاسبه شده را برای دمای ایران ارائه داده است. این ضریب بین ۱ و ۲ متغیر است و مبین دگرگونی کوتاه‌مدت و بلندمدت دامنه پارامتر در مکان و زمان است. بر این اساس، هر قدر این عدد به مقدار ۱ نزدیک‌تر باشد، نشان‌دهنده دگرگونی بلندمدت دامنه پارامتر و هر چه به ۲ نزدیک‌تر باشد، نشان‌دهنده دگرگونی کوتاه‌مدت پارامتر است. همان‌طور که در جدول ۴ نیز آمده است، در تابستان بُعد فرکتالی به مقدار بیشینه خود رسیده است. این مقدار در ماه آگوست به بیشینه خود در طول سال با مقدار ۱,۶۳ رسیده است. در طول تابستان، به دلیل استقرار پُرفشار جنوب حاره و تابش شدید خورشید، تباين حرارتی به شدت کاهش می‌يابد (غیور و منتظری، ۱۳۸۳) و همگنی دمای ایران به بیشترین مقدار می‌رسد. بنابراین، با گرمترشدن هوا، همگنی دمای کشور نیز افزایش می‌يابد (مسعودیان، ۱۳۸۲). در دوره سرد سال تنوع سامانه‌های همدید کارساز بر آب‌وهای ایران موجب تفاوت چشم‌گیر دمای ایران در نقاط مختلف کشور می‌شود (مسعودیان، ۱۳۹۰). بُعد فرکتالی در دوره گرم سال افزایش یافته است؛ این افزایش نشان‌دهنده دگرگونی کوتاه‌مدت است؛ به تبع آن، خطای استاندارد نیز افزایش می‌يابد. یکی از دلایل افزایش مقدار بُعد فرکتالی، هم‌دامایی بالای دما در این فصل است. ذکر این نکته ضروری است که ساختار فرکتالی تحت قراردادهای ازپیش‌تعیین شده ظاهر نمی‌شود؛ بلکه این ساختار از تعدادی قوانین عملکردی همچون بهینه‌سازی تبادل منابع از طریق سطوح تماس و ارتباط پیروی می‌کند. بنابراین، این اصل را برای دمای ایران این‌گونه می‌توان بیان کرد: دمای شباهه‌روز در ایران همانند سامانه غیرخطی حساس نسبت به شرایط آغازین خود عمل می‌کند؛ زیرا آب‌وهای سامانه‌ای پیچیده و غیرخطی است و از سنجه‌های گوناگون و برهم‌کنش‌های متفاوتی تشکیل شده است. بُعد فرکتالی ماه‌های سرد سال کمتر از ۱/۵ است؛ بنابراین، مبتنی بر منطق فرکتال، این ماه‌ها دارای دگرگونی بلندمدت در دامنه دمایی می‌باشند. مسعودیان (۱۳۸۲) نیز بیان کرده است که در ماه‌های سردتر سال همگنی مکانی دما کمتر است و تباين دمای نقاط مختلف کشور با یکدیگر افزایش می‌يابد.

جدول ۴. بُعد فرکتالی میانگین دمای ایران مبتنی بر برونداد پایگاه داده مرکز پیش‌بینی میان‌مدت هواشناسی اروپایی (ECMWF)
نسخه ERA Interim

آماره/ماه	ژانویه	فوریه	مارس	اوریل	می	ژوئن
بعد فرکتالی	۱,۴۳	۱,۴۲	۱,۴۳	۱,۴۶	۱,۴۷	۱,۵۱
خطای استاندارد	۰,۰۹۲	۰,۰۹۲	۰,۱۰۶	۰,۱۱۸	۰,۱۱۵	۰,۱۲۹
ضریب تعیین	۰,۹۶	۰,۹۵	۰,۹۵	۰,۹۵	۰,۹۵	۰,۹۴
آماره/ماه	ژولای	آگوست	سپتامبر	اکتبر	نوامبر	دسامبر
بعد فرکتالی	۱,۵۹	۱,۶۳	۱,۶۷	۱,۵۰	۱,۴۵	۱,۴۳
خطای استاندارد	۰,۱۴۶	۰,۱۱۵	۰,۱۲۵	۰,۱۰۹	۰,۰۹۹	۰,۰۹۰
ضریب تعیین	۰,۹۳	۰,۹۳	۰,۹۵	۰,۹۵	۰,۹۶	۰,۹۶

بحث و نتیجه‌گیری

در مطالعه حاضر، با هدف واکاوی، میانگین دمای هوا بر اساس پایگاه داده مرکز پیش‌بینی میان‌مدت هواشناسی اروپایی (ECMWF) نسخه ERA Interim ارزیابی شد. نتایج نشان داد که پایگاه یادشده به خوبی قادر به سنجش دمای هوا در بلندمدت است. میانگین دمای هوا در همه ماههای سال با مؤلفه مکانی عرض جغرافیایی بیشترین ضریب همبستگی را دارد. بُعد فرکتالی دمای هوا در ماههای سرد سال از ماههای گرم سال کمتر است. بیشینه میزان بُعد فرکتالی در ماههای جولای و آگوست مصادف با گرمترین ایام سال رخ می‌دهد که نشان‌دهنده دگرگونی کوتاه‌مدت به جهت ثبات سامانه‌های همدید در دوره گرم سال و دگرگونی بلندمدت به واسطه تنوع سامانه‌های کلان‌مقیاس در دوره سرد سال است. این آماره برای دمای ایران نشان داده است که آب‌وهوا و به‌طور مشخص‌تر، که این پژوهش بدان تیکه گردید، دما سامانه‌ای پیچیده و غیرخطی است و از سنجه‌های گوناگون و برهمنش‌های متفاوتی تشکیل شده است.

از آنجا که بیشتر مطالعات بر روی پیمونگاه‌های زمینی انجام شده، استفاده از پایگاه‌های داده بازوکاوی شده مانند پایگاه داده میان‌مدت هواشناسی اروپایی در ارائه شناخت دقیق‌تر پارامترهای آب و هوایی حائز اهمیت است. خروجی پایگاه داده مرکز پیش‌بینی میان‌مدت هواشناسی اروپایی (ECMWF) نسخه ERA Interim برای دمای ایران در ماههای مختلف از عملکرد بهتری برخوردار است؛ به طوری که در بیشتر پیمونگاه‌های موردمطالعه، بیش از ۹۸٪ ضریب تعیین بین داده‌های این پایگاه با داده مشاهده شده و ثبت شده در پیمونگاه‌های هواشناسی کشور مشاهده می‌شود. برونداد مدل از پیش‌بینی دمای هوا از نتایج بسیار قابل قبولی برخوردار است و این شرایط در مناطق مرتفع غرب و شمال شرق با تکیه بر پیمونگاه‌های موردمطالعه در سطح بالاتری قرار دارد. خروجی پایگاه داده ERA Interim با پایگاه ملی اسفاری و داده‌های مشاهداتی زمینی از نتایج مطلوبی برخوردار بوده است. این شرایط در شش ماهه دوم سال یا ایام گرم سال از دقت بسیار زیادی برخوردار است؛ زیرا در این دوره از سال تباين دمایی انکه است و بهتر می‌توان به همسنجی این پایگاه با دیگر پایگاه‌ها پرداخت.

توزیع فضایی میانگین دمای هوا حاصل از برونداد مدل پایگاه داده مرکز پیش‌بینی میان‌مدت هواشناسی اروپایی (ECMWF) نسخه ERA Interim در ماههای مختلف سال نشان داد که در ایجاد الگوی میانگین دمای هوا در بام ایران عامل عرض جغرافیایی و ارتفاع از سطح دریا بیشترین نقش را ایفا می‌کنند. کانون گرمترین نواحی در مناطق کویر لوت، جنوب‌شرق، و نوار جنوب کشور است. مناطق خنک و سرد منطبق بر نواحی مرتفع و ناهمواری‌های بام ایران است. ساختار دمای ایران، بسته به مشخصه‌های جغرافیایی، رفتار متفاوتی از خود نشان داده است. در رویکردی کلی، می‌توان دمای کشور را به پهنه‌های ساحلی، کوهستانی، و دشتی تقسیم کرد که هر یک از مناطق در دل خود نواحی آب و هوایی مختلفی را به وجود آورده‌اند. در دیدگاهی کلان، می‌توان گفت آنچه باعث شکل‌گیری این نواحی کلان دمایی شده ارتفاع و عرض جغرافیایی است. عرض جغرافیایی مقدار آفتاب‌گیری مکان را مشخص می‌کند. از سوی دیگر، تابش دریافتی هر محل با شفافیت جو و مقدار ابرناکی در ارتباط است. سرانجام، میزان رطوبت جوی و مسیر سامانه‌های همدید همگی از عواملی هستند که برای دمای ایران نقش‌آفرینی می‌کنند. مسعودیان و همکاران (۱۳۸۷) حاکمیت سامانه‌های همدید، نظیر کم‌فشار گنگ و پُرفشار آزور، و محتوا رطوبتی جو را در شکل‌گیری نواحی دمایی ایران مهم دانسته‌اند و در مجموع، ایران را از لحاظ دمایی به دو بخش سرد کوهستانی و گرم کم‌ارتفاع تقسیم کرده‌اند که با نتایج به دست‌آمده در پژوهش حاضر همخوانی دارد. همچنین، منتظری (۱۳۹۳) به این نتیجه رسیده است که عوامل محلی، بهویژه ارتفاعات و عرض جغرافیایی، آرایش جغرافیایی نواحی حرارتی را شکل می‌دهند و عوامل بیرونی (سامانه‌های گردش

عمومی هواسپهر) در تعیین رژیم حرارتی و آهنگ دگرگونی دما در طول زمان نقش دارد. آرایش جغرافیایی دما با پایگاه ECMWF، که در این پژوهش به شکل مستقیم بدان توجه شده است، با پژوهش منتظری (۱۳۹۳) همخوانی دارد که میان دقت قابل قبول پایگاه ECMWF در برآورد دمای کشور است. همان‌طور که گفته شد، هر پهنه کلان دمایی خود به ریزپهنه‌هایی تقسیم می‌شود. مثلاً، پهنه دمای ساحلی در کشور را می‌توان به سه پهنه مجزای خزری، عمان، و خلیج فارس تقسیم کرد. پهنه خزری، به رغم عرض جغرافیایی بالا، باید دمای کمتری داشته باشد، اما به سبب اثر تعديلی دریای خزر الگوی دمایی متفاوتی ارائه کرده است. سواحل دریای عمان، به رغم اینکه عرض جغرافیایی کمتری دارد، دمای آن نسبت به سواحل خلیج فارس کمتر است؛ زیرا در فصل تابستان این منطقه تحت تأثیر سامانه موسمی قرار دارد و، از طرف دیگر، به سبب اثر تعديلی دریاهای آزاد مقدار دمایی کمتر از سواحل خلیج فارس دارد. در مقابل، سواحل خلیج فارس، به رغم آنچه گفته شد، در عرض جغرافیایی بالاتری از دریای عمان قرار گرفته است و تحت تأثیر بیابان‌های گرم جنوب و جنوب‌غرب ایران و وزش بادهای گرم این مناطق نیز قرار دارد. پُرفسار عربستان یکی از مراکز مهم فشار شبکه‌سازکنی است که در ترازهای زیرین جو ویژگی‌های آب و هوایی قلمرو تحت اشغال خود را متأثر می‌کند. نقش این پُرفسار در مناطق جنوبی و جنوب‌غربی کشور بیشینه است. نتایج این پژوهش در تکمیل دیگر مطالعات همچون مسعودیان (۱۳۸۲)، علیجانی (۱۳۸۹)، و فلاح قاله‌بری و داداشی روبداری (۲۰۱۶) در ارائه الگوی جامع‌تری از وضعیت دمای ایران در بلندمدت حائز اهمیت است.

بنا بر نتایج، می‌توان بیان کرد که نواحی جنوبی کشور در کرانه‌های دریای عمان و خلیج فارس و شمال خلیج فارس در استان خوزستان، از نظر درجه روزهای نیاز سرمایشی در ماه‌های گرم سال و در جهت تعديل دمای هوا و فراهم‌کردن آسایش در این مناطق، نیاز به توجه بیشتری دارند. از طرفی دیگر، الگوی نقشه‌های هر ماه به تفکیک نشان داد که نواحی شمال‌غرب، زاگرس مرتفع، و نواحی شمال‌شرقی از نظر گرمایشی در ماه‌های سرد سال به توجه بیشتری نیاز دارند. نتایج و دستاوردهای این تحقیق در درک بهتر و جامع از وضعیت دمای کشور بر مبنای آمار بلندمدت حائز اهمیت است. نتایج مطالعه حاضر در تکمیل مطالعات دیگر، از نظر استفاده از پایگاه داده مرکز پیش‌بینی میان‌مدت هواسپهر اروپایی، به منزله یکی از پایگاه‌های روزآمد آب و هوایی، حائز اهمیت است.

منابع

- اکبری، ط. و مسعودیان، ا. (۱۳۸۸). شناسایی رژیم دمایی و پهنه‌بندی نواحی دمایی ایران، جغرافیا و برنامه‌ریزی محیطی، ۲۰(۱): ۵۹-۷۴.
- حلیان، ا. و شبانکاری، م. (۱۳۹۱). نقش پُرفشار سیبری در پراکنش دماهای کمینه روزانه ایران، جغرافیا و برنامه‌ریزی محیطی، ۲۲(۴): ۱۵۱-۱۶۶.
- دارند، م. (۱۳۹۴). واکاوی وردایی زمانی - مکانی رطوبت جوی ایران زمین طی بازه زمانی ۱۹۷۹-۲۰۱۳، پژوهش‌های جغرافیای طبیعی، ۴۷(۲): ۲۱۳-۲۳۹.
- درگاهیان، ف.; علیجانی، ب. و محمدی، ح. (۱۳۹۳). شناسایی الگوی همدیدی سامانه‌های بندالی مؤثر بر دمای ایران، نشریه پژوهش‌های اقلیمی‌شناسی، ۲۰(۱۹) و ۲۰(۲۰): ۸۱-۹۲.
- رضیئی، ط. (۱۳۹۶). شناسایی رژیم‌های دمایی ایران با استفاده از روش‌های چندمتغیره، مجله ژئوفیزیک ایران، ۱۱(۲): ۱۵-۳۵.
- سروزاده، ک. و اشتیاقی، ع. (۱۳۹۰). تئوری شبکه‌ای و شهر فرکتال (دیدگاه‌های نوین در زمینه برنامه‌ریزی شهری)، شیراز: نوید شیراز.
- علیجانی، ب. (۱۳۸۹). آب و هوای ایران، چ ۱۰، تهران: انتشارات دانشگاه پیام نور.
- غیور، ح. و منتظری، م. (۱۳۸۳). پهنه‌بندی رژیم‌های دمایی ایران با مؤلفه‌های مبنا و تحلیل خوش‌های، مجله جغرافیا و توسعه، ۲: ۲۱-۳۴.
- قرخلو، م. و زنگنه شهرکی، س. (۱۳۸۸). شناخت الگوی رشد کالبدی - فضای شهر با استفاده از مدل‌های کمی، مجله جغرافیا و برنامه‌ریزی محیطی، ۲۰(۲): ۱۹-۴۰.
- مسعودیان، س.ا؛ زینالی، ح. و حجتی‌زاده، ر. (۱۳۸۷). نواحی دمایی ایران، تحقیقات جغرافیایی، ۲۳(۲): ۳-۱۸.
- مسعودیان، س.ا. (۱۳۸۲). تحلیل ساختار دمای ماهانه ایران، مجله پژوهشی دانشگاه اصفهان، ۱۵(۱) و ۱۵(۲): ۸۷-۹۶.
- مسعودیان، س.ا. (۱۳۸۳). بررسی روند دمای ایران در نیم سده گذشته، مجله جغرافیا و توسعه، ۳۷(۵۴): ۲۹-۴۵.
- مسعودیان، س.ا. (۱۳۹۰). آب و هوای ایران، مشهد: شریعة تووس مشهد.
- منتظری، م. (۱۳۹۳). نواحی حرارتی ایران، فصل نامه تحقیقات جغرافیایی، ۲۹(۲): ۱۳۵-۱۴۴.
- میرکتولی، ج.; بارگاهی، ر. و عقیلی، ز. (۱۳۹۳). تبیین ابعاد استفاده از هندسه فراتال در تحلیل‌های جغرافیا و برنامه‌ریزی شهری، مجله آمایش جغرافیایی فضا، ۱۴(۴): ۵۵-۸۲.
- Akbari, T. and Masoudian, A. (2009). Identification of temperature regime and zoning of temperature regions of Iran, *Geography and environmental planning*, 20 (1): 59-74 (in Persian).
- Alijani, B. (2010). *Climate Iran*, Payam Noor University Press, 10 Edition, Tehran, 221p (in Persian).
- Bao, X. and Zhang, F. (2013). Evaluation of NCEP–CFSR, NCEP–NCAR, ERA-Interim, and ERA-40 reanalysis datasets against independent sounding observations over the Tibetan Plateau, *Journal of Climate*, 26(1): 206-214.
- Bengtsson, L.; Hodges, K.I. and Hagemann, S. (2004). Sensitivity of large-scale atmospheric analyses to humidity observations and its impact on the global water cycle and tropical and extratropical weather systems in ERA40, *Tellus A*, 56(3): 202-217.

- Center, C.P. (2008). *National Centers for Environmental Prediction (NCEP), National Oceanic and Atmospheric Administration (NOAA)*, United of States Department of Commerce (USDA).
- Ciccarelli, N., Von Hardenberg, J., Provenzale, A., Ronchi, C., Vargiu, A., & Pelosi, R. (2008). Climate variability in north-western Italy during the second half of the 20th century. *Global and Planetary Change*, 63(2-3), 185-195.
- Darand, M. (2015). Analysis of Spatio-Temporal Variation of Atmospheric Humidity in Iran during 1979-2013. *Physical Geography Research Quarterly*, 47(2): 213-239. doi: 10.22059/jphgr.2015.54460 (in Persian).
- Dargahian, F.; Alijani, B. and Mohammadi, H. (2014). Identification of the Pattern of Blocking System Affecting Iran's Temperature, *Journal of Climate Research*, 5(19 and 20): 81-92 (in Persian).
- Ebita, A.; Kobayashi, S.; Ota, Y.; Moriya, M.; Kumabe, R.; Onogi, K. ... and Kamahori, H. (2011). The Japanese 55-year reanalysis "JRA-55": an interim report. *Sola*, 7: 149-152.
- Eliasson, I. and Upmanis, H. (2000). Nocturnal airflow from urban parks-implications for city ventilation, *Theoretical and Applied Climatology*, 66(1): 95-107.
- Fllah Ghalhari, G.F. and Dadashi Roudbari, A.D. (2016). An investigation on thermal patterns in Iran based on spatial autocorrelation, *Theoretical and Applied Climatology*, 1-12.
- Frauenfeld, O.W.; Zhang, T. and Serreze, M.C. (2005). Climate change and variability using European Centre for Medium-Range Weather Forecasts reanalysis (ERA-40) temperatures on the Tibetan Plateau, *Journal of Geophysical Research: Atmospheres*, 110(D2).
- Gayour, H. and Montazarei, M. (2004). Classification of Temperature Regime of Iran Using PCA and CA., *Geography and Development Iranian Journal*, 2(4): 21-34. doi: 10.22111/gdij.2004.3882 (in Persian).
- Halabian, A. and Shabankari, M. (2013). The role of Siberian high in distribution of the daily minimum temperatures in Iran, *Geography and Environmental Planning*, 23(4): 151-166 (in Persian).
- Henfridsson, U., Neimane, V., Strand, K., Kapper, R., Bernhoff, H., Danielsson, O., ... & Bergman, K. (2007). Wave energy potential in the Baltic Sea and the Danish part of the North Sea, with reflections on the Skagerrak. *Renewable Energy*, 32(12), 2069-2084.
- Hodges, K.I.; Lee, R.W. and Bengtsson, L. (2011). A comparison of extratropical cyclones in recent reanalyses ERA-Interim, NASA MERRA, NCEP CFSR, and JRA-25, *Journal of Climate*, 24(18): 4888-4906.
- Kalnay, E. (2003). *Atmospheric modeling, data assimilation and predictability*, Cambridge University Press.
- Kalnay, E.; Kanamitsu, M.; Kistler, R.; Collins, W.; Deaven, D.; Gandin, L. ... and Zhu, Y. (1996). The NCEP/NCAR 40-year reanalysis project, *Bulletin of the American meteorological Society*, 77(3): 437-471.
- Kanamitsu, M., Ebisuzaki, W., Woollen, J., Yang, S. K., Hnilo, J. J., Fiorino, M., & Potter, G. L. (2002). Ncep-doe amip-ii reanalysis (r-2). *Bulletin of the American Meteorological Society*, 83(11), 1631-1644.
- Kanamitsu, M.; Ebisuzaki, W.; Woollen, J.; Yang, S.K.; Hnilo, J.J.; Fiorino, M. and Potter, G.L. (2002). Ncep-doe amip-ii reanalysis (r-2), *Bulletin of the American Meteorological Society*, 83(11): 1631-1643.
- Kharghloo M. and Zanganeh Shahraki, S. (2009). Understanding the Pattern of City-Based Growth by Using Quantitative Models, *Geography and Environmental Planning*, 20(2): 19-40 (in Persian).
- Kiehl, J.T.; Schneider, T.L.; Rasch, P.J.; Barth, M.C. and Wong, J. (2000). Radiative forcing due to sulfate aerosols from simulations with the National Center for Atmospheric Research Community Climate Model, Version 3, *Journal of Geophysical Research: Atmospheres*, 105(D1): 1441-1457.

- Kim, H.M.; Webster, P.J. and Curry, J.A. (2012). Seasonal prediction skill of ECMWF System 4 and NCEP CFSv2 retrospective forecast for the Northern Hemisphere Winter, *Climate Dynamics*, 39(12): 2957-2973.
- Krishna Kumar, K.; Hoerling, M. and Rajagopalan, B. (2005). Advancing dynamical prediction of Indian monsoon rainfall, *Geophysical Research Letters*, 32(8).
- Kug, J.S.; Kang, I.S. and Choi, D.H. (2008). Seasonal climate predictability with tier-one and tier-two prediction systems, *Climate dynamics*, 31(4): 403-416.
- Lader, R.; Bhatt, U.S.; Walsh, J.E.; Rupp, T.S. and Bieniek, P.A. (2016). Two-meter temperature and precipitation from atmospheric reanalysis evaluated for Alaska, *Journal of Applied Meteorology and Climatology*, 55(4): 901-922.
- Lashkari, A.; Bannayan, M.; Koocheki, A.; Alizadeh, A.; Choi, Y.S. and Park, S.-K. (2016). Applicability of AgMERRA forcing dataset forgap-filling of in-situ meteorological observation, Case Study: Mashhad Plain, *Journal of Water and Soil*, 29(6): 1749-1758 (In Persian).
- Li, S.; Xie, Y.; Brown, D.G.; Bai, Y.; Hua, J. and Judd, K. (2013). Spatial variability of the adaptation of grassland vegetation to climatic change in Inner Mongolia of China, *Applied Geography*, 43: 1-12.
- Masoudian, A.S. (2003). Monthly Temperature Structure Analysis of Iran, *Research Journal of Isfahan University*, 15(1 and 2): 87-96 (In Persian).
- Masoudian, A.S. (2004). Trend of temperatures in Iran the last half century, *Journal of Geography and Development*, 37(54): pp. 29-45 (in Persian).
- Masoudian, A.S. (2011). *Iranian Climate*, Sharia Toos Publishing, Mashhad, First Printing, Mashhad, 288 p. (In Persian).
- Masoudian, A.S.; Zeinali, H. and Hojjatizadeh, R. (2008). Iranian Temperature Areas, *Geographic Research*, 23(2): 3-18 (in Persian).
- Mirkatouli, J.; Bargahi, R. and aghili, S.Z. (2014). Explanation of Fractal Geometry in Geography and Urban Planning, *Geographical Planning of Space*, 4(14): 55-82 (In Persian).
- Montazeri, M. (2014). Thermal Regions of Iran, *Geores*, 29(2) :135-144 (In Persian).
- Mooney, P.A.; Mulligan, F.J. and Fealy, R. (2011). Comparison of ERA-40, ERA-Interim and NCEP/NCAR reanalysis data with observed surface air temperatures over Ireland, *International Journal of Climatology*, 31(4): 545-557.
- Nikos Angelos Salingaros (2010). Network Theory and Fractal Town (New Approaches to Urban Planning), Translate By: Sid Kourosh Sarangzadeh and Alireza Eshatighi, Islamic Azad University, Jahrom Branch, Navid Shiraz Publishers, 144p (In Persian).
- Poveda, G., Waylen, P. R., & Pulwarty, R. S. (2006). Annual and inter-annual variability of the present climate in northern South America and southern Mesoamerica. *Palaeogeography, Palaeoclimatology, Palaeoecology*, 234(1), 3-27.
- Raziei, T. (2017). Identification of the temperature regimes of Iran using multivariate methods, *Iranian Journal of Geophysics*, 11(2): 15-35 (in Persian).
- Rienecker, M.M.; Suarez, M.J.; Gelaro, R.; Todling, R.; Bacmeister, J.; Liu, E. ... and Bloom, S. (2011). MERRA: NASA's modern-era retrospective analysis for research and applications, *Journal of climate*, 24(14): 3624-3648.
- Rolland, C. (2003). Spatial and seasonal variations of air temperature lapse rates in Alpine regions, *Journal of Climate*, 16(7): 1032-1046.
- Serv Zadeh, K. and Eshtiaghi, A.S. (2011). Network Theory and Fractal City (New Approaches to Urban Planning), Shiraz Navid Publications, Shiraz, 144 p (In Persian).

- Simmons, A. (2006). ERA-Interim: New ECMWF reanalysis products from 1989 onwards, *ECMWF newsletter*, 110: 25-36.
- Simmons, A.J.; Poli, P.; Dee, D.P.; Berrisford, P.; Hersbach, H.; Kobayashi, S. and Peubey, C. (2014). Estimating low-frequency variability and trends in atmospheric temperature using ERA-Interim, *Quarterly Journal of the Royal Meteorological Society*, 140(679): 329-353.
- Simmons, A.J.; Willett, K.M.; Jones, P.D.; Thorne, P.W. and Dee, D.P. (2010). Low-frequency variations in surface atmospheric humidity, temperature, and precipitation: Inferences from reanalyses and monthly gridded observational data sets, *Journal of Geophysical Research: Atmospheres*, 115(D1).
- Smith, C.A.; Compo, G.P. and Hooper, D.K. (2014). Web-Based Reanalysis Intercomparison Tools (WRIT) for analysis and comparison of reanalyses and other datasets, *Bulletin of the American Meteorological Society*, 95(11): 1671-1678.
- Stahl, K.; Moore, R.D.; Floyer, J.A.; Aspin, M.G. and McKendry, I.G. (2006). Comparison of approaches for spatial interpolation of daily air temperature in a large region with complex topography and highly variable station density, *Agricultural and Forest Meteorology*, 139(3): 224-236.
- Terzi, F. and Kaya, H.S. (2008). *Analyzing urban sprawl patterns through fractal geometry: The case of Istanbul metropolitan area*.
- Trisurat, Y.; Shrestha, R.P. and Kjelgren, R. (2011). Plant species vulnerability to climate change in Peninsular Thailand, *Applied Geography*, 31(3): 1106-1114.
- Wang, A. and Zeng, X. (2012). Evaluation of multireanalysis products with in situ observations over the Tibetan Plateau, *Journal of Geophysical Research: Atmospheres*, 117(D5).